

石油的合成

下册

H·斯托奇等著



石油工业出版社

石 油 的 合 成

下 册

H· 斯托奇 N· 哥倫比克 R· 安特生著

劉馥英 萬培元等譯

曾奕昌 萬培元 劉馥英校訂

石 油 工 業 出 版 社

内 容 提 要

本下册由三章组成，即：“用CO和H₂合成烃类的过程”“碳基合成和異構烷烃合成”和“用CO和H₂合成烃类的动力学和机理”。

下册的内容是非常丰富的，参考資料也很多。加工工艺一章詳細叙述了影响合成过程的各种因素；用固定床催化剂（經反應器壁散热和以循环煤气或循环油直接冷却等方法）和流化催化剂合成的工艺过程及其比較；技术經濟指标的比較等。碳基合成和異構烷烃合成一章分別闡述了兩种合成的机理、催化剂、試驗方法、产品組成等。动力学与机理一章則由金屬碳化物的生成，氫化和热分解諸問題談到CO与H₂合成烃类的动力学；作者还搜集了不少的研究反应机理的假設及試驗方法，并作了一些批判性的論証。

本書可供合成石油工作者及石油院校人造石油專業的师生参考。

参加翻譯的人员為：刘馥英、刘丰烈，任道源、汪济、沈壬宪、李树楷、李承烈、吳至美、吳克济、何世松、徐吉心、陳亞、葛培元。由刘馥英、曾奕昌、葛培元校，因为沒有集体翻譯的經驗，缺点比較多，錯誤也所难免，請讀者指正。

H. STORCH

N GOLUMBIC R. ANDERSON

СИНТЕЗ УГЛЕВОДОРОДОВ ИЗ
ОКИСИ УГЛЕРОДА И ВОДОРОДА

根据苏联外文書籍出版社(ИНОИЗДАТ)

1954年莫斯科俄文版轉譯

統一書号：15037·662

石油的合成

下 册

刘馥英 葛培元等譯

曾奕昌 葛培元 刘馥英校訂

石油工業出版社(社址：北京六鋪炕石油工業局內)

北京市審音出版業審定許可證出字第083号

石油工業出版社印刷厂印刷 新华書店發行

850×1168毫米开本 * 印張 8 1/2 * 209千字 * 印1—2,500册

1959年3月北京第1版第1次印刷

定价：(10)1.40元

目 录

第四章 用一氧化碳和氢合成烃类的过程	
第一节 合成的技术参数	1
第二节 固定床催化剂和經反应器壁散热的方法	16
第三节 在固定床催化剂上以循环煤气或 循环油直接冷却的方法	82
第四节 悬浮的粉狀催化剂合成法	96
第五节 各种合成法的技术經濟指标的比較	126
参考文献	130
第五章 羰基合成和異構烷烃合成	
第一节 羰基合成	133
第二节 异構烷烃合成	146
参考文献	156
第六章 用一氧化碳和氢合成烃类的动力学和机理	
第一节 碳化物和游离碳的生成和氢化	157
第二节 用 CO 和 H ₂ 合成烃类的产品組成	242
第三节 用 CO 和 H ₂ 合成碳氢化合物的反应机理	253
参考文献	280

第四章 用一氧化碳和氢合成烃类的过程

第一节、合成的技术参数

1. 温度和压力对合成的影响，催化剂的寿命

以直鏈石蜡烃为主要产品的一氧化碳氫化反应是一个多相催化反应，它需要特別制备的鎳、鈷、鐵或釤催化剂和已净化到含硫量小于 0.2 克/100 米³ 的原料煤气。随着催化剂类型的不同和操作条件的变化，在它們合成时还生成不同数量的帶側鏈的烷烃、芳香烃、鏈狀醇类、醛类和酸类。

合成反应进行时，要放出大量的热(每公斤液体产品为 4,000 千卡)，最适宜的合成温度范围就鎳或鈷催化剂來說是 170~205°，对鐵催化剂而言为 200~325°，而对釤催化剂則为 160~225°。

由于合成反应是高热效应的反应，而适宜的反应温度范围又比較狭窄，因此，合成过程的工艺設計，首先就是如何將反应热帶走的問題。

鎳催化剂不能在超过常压过多的压力下使用，因为此时將因生成羰基鎳而产生强烈的侵蝕作用。鈷及鐵催化剂可用于約 20 大气压下，不致因生成羰絡合物而产生明显的侵蝕作用。釤催化剂在常压下活性很低，只有在 100 大气压下，才能达到其他催化剂在 1~20 大气压下的生产能力。上述这些催化剂在最适宜的反应温度和压力下都会生成相当数量的金屬羰絡合物。皮契勒尔 [1] 認为这个事实对探討反应的可能机理，具有重要意义。

已經測得的在鎳 [2] 和鈷 [3] 催化剂上进行的合成反应速度的温度系数是每 10° 为 1.6~1.8。加压合成的反应速度用下列方程决定之：

$$\text{速度} = Ae^{-\Delta E/RT} p^n.$$

式中 A 及 R 为常数, e 为自然对数的底, ΔE 为活化能, T 为絕對温度, p 为合成气的分压。对鈷剂來說, 如在有相当浓度的反应产品存在时测定, n 接近于 0 [4], 而当采用高空速及低的一次轉化率以保持反应产物浓度很低时, n 約为 0.5 [5]。用鐵剂合成为时, n 約为 1.0 [1]。鈷剂及鐵剂之活化能 ΔE 的数值, 約在 20~26 仟卡之間。

鈷[6]及鐵[7]催化剂的寿命在 7~20 大气压下均較常压时为長。圖 85 及圖 86 提供了催化剂寿命随压力而改变的一些数据。圖 85 指鈷剂, 圖 86 指鐵剂。圖 85 的压力为表压力, 而圖 86 的压力則为絕對压力。

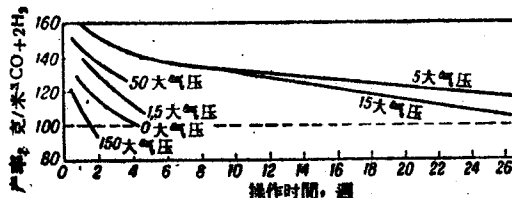


圖 85 壓力对产率与操作时间的影响

無論是鈷剂或鐵剂, 在常压下都可借週期性的溶剂抽提或一定間隔期中的氫处理而使它的寿命大大延長。使用这两种方法时, 由催化剂上可除去大量的(佔催化剂重量的 20~100%)石蜡及高沸点的含氧化合物。采用中压(7~20 大气压)时寿命的显著延長, 可能是由于在催化剂表面上形成了一層分子量較低的液体碳氢化合物膜。它們溶解了催化剂颗粒的孔隙間的石蜡和高沸点含氧化合物, 因此形成了連續的抽提作用, 从而恢复了催化剂的活性。在压力超过 30 大气压以上时, 催化剂的寿命就显著縮短了。这可能是由于糠絡合物的生成, 而产生了对催化剂表面的侵蝕。

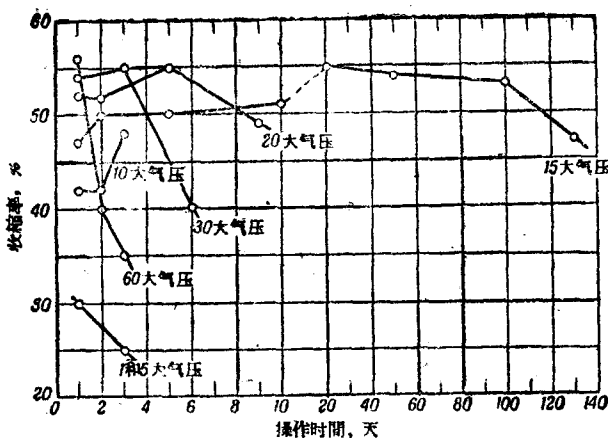
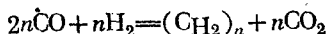


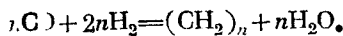
圖 86 壓力對沉淀的鐵劑壽命的影響

原料氣 $3\text{CO} + 2\text{H}_2$, 溫度 235°

在圖 85 的曲線中反應溫度不是固定不變的。在合成的過程中，催化劑的活性也逐漸下降。這樣的下降可借昇高反應溫度來挽回一部分。在 5~15 大氣壓的試驗中，雖經六個月的操作，反應溫度從開始的 $175\sim 180^\circ$ 還未昇到 195° 。而在常壓的試驗中，僅在操作 5 星期後，反應溫度就從開始的 180° 上昇到 195° 。從圖 86 所示之鐵劑的收縮率，可估計 CO 的轉化率。已知 CO 及 H_2 的消耗比約為 1.5 到 1.0，則其中 88% 之 CO 按下式反應：



而其餘的 12% 則按下列式進行：



根據這些反應式可以算出，收縮率為 50% 時就相當於 CO 轉化率為 70%。

2. 各種壓力下合成產品的組成

表 123 是費雪爾和皮契勒爾 [6] 得出的關於合成產品餾份組

成随压力而改变的数据。在压力超过常压后，烃类总产量起初是随着增加的。后来，从压力升高到约 15 大气压起，开始下降。試驗中使用鈷-氧化鈷-硅藻土催化剂，并經常保持原料气流速为每小时每克金属鈷上通过 1 公升（常压測定）的 $2\text{H}_2 + 1\text{CO}$ 气体。表中数据是四星期操作的平均值。气体仅通过催化剂一次，催化剂也未經再生。

各种压力下鈷剂合成产品的組成

表 123

压力, 大气压	产率, 克/米 ³ 原料气($2\text{H}_2 + 1\text{CO}$)				
	液态及固态烃类	石蜡	重油 沸点200°以上	汽油 200°以下馏出	气态碳氢化合物C ₁ —C ₄
1.0	117	10	38	69	38
2.5	131	15	43	73	50
6.0	150	60	51	39	33
16.0	145	70	36	39	33
51.0	138	54	37	47	21
151.0	104	27	34	43	31

由于气体流速是固定的，所以，接触时间与压力成正比增加。碳氢化合物(表 123 的第二行加第六行)的总产率从 1 大气压的 155 克/米³，增加到 2.5 大气压的 181 克/米³ 以及 6 大气压的 183 克/米³，而当压力再行升高时，产率又趋下降。按理論出油率为 208 克/米³，故轉化为碳氢化合物的最高百分率約为 88%。在压力昇到 16 大气压以上时，产率急剧下降。这可能是由于羧络合物的生成，使催化剂活性表面受侵蝕，和强烈吸附含氧化合物的缘故。含氧化合物的生成，是隨压力增長的。

圖 87 轉录的馬丁[8]的曲線，也提供了类似的数据。該圖上指出在 10 大气压左右可得到一最高的 $\text{CO} + \text{H}_2$ 轉化率。表 123 的数据及圖 87 的曲線都不是恆温下的合成，因为，每一次試驗中，温度都是調节在 175~200°間，以获得最大的气体轉化为液体产

品的收率。

鉻劑在 1 到 7 大氣壓下合成的產品的較詳細的性質已列在表 42 上（見上冊第三章），除了在表 123 已表明的石蠟產率隨壓力提高顯著增加外，表 42 還指出在 7 大氣壓下合成的產品較 4 大氣壓者更為飽和。

表 124 和 125 提供了一些關於以鉻-氧化鈦-氧化鎂-硅藻土 (100: 5: 7.5: 200) 的催化劑合成時液體產品的餾程隨合成壓力而改變的補充數據 [9, 10]。

表 124 的數據說明液體產品的分子量隨操作壓力的昇高而增大。在表 125 中，對壓力的影響有較詳細的數據。從這裡可以看出：在壓力為 3 大氣壓時，產品沸點在 320° 以上的餾份的重量組成有顯著增加，而且，CO 轉化為油的部份也增加了。這可能是由於在此壓力下反應混合物的“露點”是在 190°。

用鉻劑在不同壓力下合成時，液體產品的餾份組成 表 124

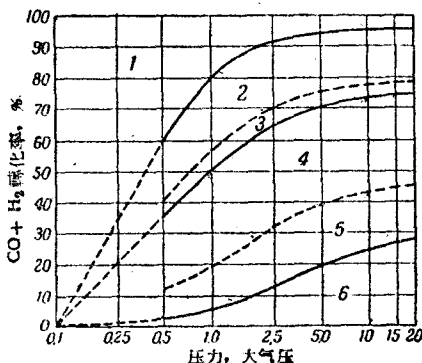


圖 87 壓力對總產率及各個餾份產率的影響

1—未轉化的 $\text{CO} + 2 \text{H}_2$ ； 2—氣態產品 $\text{CH}_4 + \text{CO}_2$ ； 3— $\text{C}_3 + \text{C}_4$ ； 4—200°以下餾份； 5—200—300°餾份； 6—320°以上的石蠟。

操作壓力 大氣壓	各溫度下的餾出量，體積%				
	100°	150°	200°	250°	300°
5	22	33	51	62	73
7	15	28	41	53	64
10	14	26	38	49	61

压力对钴-氧化钛-氧化镁-

(本表数据是以装催化剂 5 公升的)

压 力, 大 气 压	试 验 时 间 间 隔 时 间 时 时 -1	煤 气 的 空 速 时 -1	温 度, °C	气体分析, 容积%								消 耗 比 H_2/CO	收 率, %
				气 体	CO	C_nH_m	CO_2	H_2	CH_4	N_2	n		
0.2	6	107	190.7	原 料	28.2	—	14.1	54.2	—	—	—	2.05	60
				尾 气	18.8	1.1	35.3	29.3	8.3	7.1	1.10		
1.0	3	111	190.7	原 料	27.9	—	13.8	54.4	—	—	—	2.12	55.5
				尾 气	20.3	1.1	31.0	32.2	8.5	6.8	1.07		
2.0	11	113	191.8	原 料	28.0	—	13.9	54.0	—	—	—	2.12	58.6
				尾 气	19.1	0.7	34.2	27.3	10.3	8.3	1.00		
3.0	11	111	187.3	原 料	28.2	—	13.7	54.2	—	—	—	2.13	58.5
				尾 气	20.5	0.2	34.2	29.8	7.8	7.3	1.00		
4.0	11	108	187.6	原 料	28.5	—	13.6	53.3	—	—	—	2.08	59.6
				尾 气	20.0	0.6	34.9	27.0	7.8	9.6	1.00		
5.0	18	109	187.5	原 料	28.3	—	13.9	53.5	—	—	—	2.09	58.8
				尾 气	20.4	0.4	34.3	28.9	7.3	8.6	1.00		
6.0	7	106	192	原 料	27.7	—	14.3	53.8	—	—	—	2.14	58.6
				尾 气	19.6	0.3	35.1	29.0	7.8	8.1	1.08		
7.0	8	110	196	原 料	27.7	—	14.3	53.9	—	—	—	2.11	58.7
				尾 气	18.9	0.2	35.4	28.6	8.7	8.1	1.11		

① 按不含惰性成份的 $2 H_2 + 1 CO$ 煤气计。

硅藻土催化剂合成烟类的影响

(套管反应器在中型试验工场中取得)

表 125

CO 转化						① 产 率, 克/米 ³	液体产品 在 15°C 时比重	各温度下馏出量重量%									
按全部 CO 计, %			按转化的 CO 计, %					100°		200°		300°		320°			
总 转 化	成 为 液 体 油	成C ₁ —C ₄ CO ₂	成液 体油	成C ₁ —C ₄ CO ₂	成C ₁ —C ₄ CO ₂			100°	200°	300°	320°	360°	320°	以上			
76.6	59.7	16.9	—	77.9	22.1	—	—	0.727	19.5	59.4	85.5	89.0	95.5	11.0			
69.5	50.7	18.8	—	73.0	27.0	—	107	0.718	26.2	63.0	88.2	91.3	96.7	8.7			
74.4	56.3	17.5	—	76.5	23.5	—	119	0.733	23.2	56.2	80.4	84.1	90.5	15.9			
72.7	59.0	11.8	1.8	81.3	16.2	2.5	125	0.740	22.0	49.8	75.3	78.8	85.2	21.2			
76.4	61.4	13.0	2.0	80.4	17.0	2.6	128	0.747	21.0	49.9	74.0	77.6	84.8	22.4			
74.2	61.8	11.5	0.9	83.3	15.5	1.2	128	0.743	22.7	51.4	74.5	78.4	85.8	21.6			
72.6	58.8	12.7	0.9	81.1	17.6	1.3	125	0.743	21.5	50.7	74.2	77.8	85.4	22.2			
73.7	57.4	14.2	1.8	78.0	19.4	2.6	120	0.734	24.9	55.4	78.3	81.8	90.0	18.2			

因此，在催化剂上就形成了一層由液态碳氢化合物構成的牢固的薄膜。这样的薄膜將會延長液体产物与催化剂的接触时间。从 3 大气压到 7 大气压間，CO 轉化率及产品馏份組成 都仅有很少的改变。

在操作压力为 1 大气压温度为 230°左右时，用鐵催化剂合成所得产品較用鈷剂者含有較多的石蜡，如产品中沸点在 320°以上部份所佔重量組份就鈷剂而言是 11%，而就鐵剂而言，则为 20% [10, 11]。在操作压力为 10 大气压时，上述組份就鈷剂而言是 30%，而就鐵剂而言则为 60%（操作溫度約為 230°）[11, 12]。駱倫 [12] 曾發表操作压力对鐵剂合成产品馏份分佈的影响，但未註明催化剂組成及操作条件。据推測該催化剂可能系一种以銅、氧化鈣、碳酸鉀为助催化剂的沉淀催化剂。駱倫經常以 H₂ 在 300~325° 进行还原，并在 230~245° 下合成。表 126 系轉录駱倫的数据。由于必須在轉化率相同时来比較，故上列数据中压力为 1 及 5 大气压者不应包括在內。仔細分析压力为 1、10、20 大气压时的数据，可以發現压力增加时，石蜡也随之增加，而汽油及柴油产率则相应降低。汽油及柴油馏份中的烯烃含量未随压力之升高而有多少变动，不像鈷剂合成中随压力升高而不饱和度下降。（参考上册表 42）。

用水煤气在沉淀鐵催化剂上合成时压力与

产品組成的关系

表 126

压 力 大气压	CO轉化率 %	C ₈ 以上烃类产率 克/米 ³ 原料煤气	液体产品組成；重量%			烯烃含量，容重%	
			汽油	柴油	石蜡	汽油	柴油
1.	95	90	57	24	19	68	41
3	75	98	32	30	38	64	48
5	70	86	30	25	45	63	49
10	75	118	25	20	55	62	47
20	75	120	22	22	56	63	46

3. 原料气中含有氮、甲烷、二氧化碳及烯烃的影响

以氮气稀释的效应，最好用表 127 所示的哈尔和史密斯[13]的一些试验数据来说明。在 26~27 号试验中，原料气含有 35% 的 N₂；而 23~29 及 21~22 号试验所用煤气仅含 N₂ 4%。从该表可看出，单独增加空间流速会使产率降低，例如试验 23~29 及 21~22 分别采用 935 及 131 的空速，它们的液体和固定烃类总产率各为 142 及 113 克/米³ 2 H₂+1CO。在相同的空速下，将原料气中 30% 的 2H₂+1CO 换成 N₂，可使每米³的 2H₂+1CO 得到较高的液、固体烃类产率（以试验 26~27 与 21~22 比较）。尽管 26~27 中以 N₂ 稀释了，而产品的馏份组成在 26~27 与 21~22 中还是很相似的，但在以低空速合成的 23~29 中，合成产品的馏份组成却与高空速合成者有显著的不同。

以氮稀释合成气的效应

表 127

試 驗 編 號	溫 度, °C	原料氣組成 容積%				煤氣流速 公升 2 H ₂ +1CO/ 克鈷/時	原料煤 氣空間 流速, 吋 ⁻¹	固體和液體 產品產率 克/米 ³ 煤氣			產品馏份組成, 重量%		
		CO ₂	CO	H ₂	N ₂			原料 2 H ₂ + 1CO	150° 以下	150~ 200°	200~ 300°	300° 以上	
23~29	192.5	2.5	31.5	62.0	4.0	1.0	93.5	198	142	24.6	12.8	22.6	40.0
26~27	193	3.1	20.0	41.8	35.1	1.0	138	112	120	36.7	14.8	21.2	27.3
21~22	192	2.5	31.5	62.0	4.0	1.40	131	106	113	33.3	14.8	28.8	23.1

（以 100Co:6 ThO₂:3 MgO:250 硅藻土的催化剂 100 毫升，含钴 9.35 克，在 10 大气压下操作的实验室数据）。

斯托奇及其同事[14]也曾进行以 N₂ 稀释合成气的研究，得到虽不甚精确但却相似的结果。表 128 内最后一行，是“校正后的”每米³ 2H₂+1CO 所生成的液体加固体产品的产率（克数）。

它是从相邻的一行换算得来的。换算的基础是假定空速在90~135之间时每米³的产率与空速成反比。煤气含N₂1%时的平均“校正后的”产率为88, 16.3%时为109, 28.6%时为163克/米³。“校正后的”产率仅为一近似数值。在煤气含N₂28.6%的试验中, H₂与CO的比值较低, 因此就不可能得到上述试验的精确比较。表128中, 无论是“校正”或“未校正”的数据都与表127所列有相同的倾向。在相同空速下, 将煤气中16~30%的合成气用N₂代替, 可使烃类的液体与固体产率显著地增加。但在相同的进口煤气空间流速下, 由于惰性气体含量的增加, 在单位体积催化剂上每小时转化的一氧化碳体积减少了。

以氮稀释合成煤气的效率
(以100Co:6ThO₂:12MgO:200“Hyflo-Supel-Gel”硅藻土催化剂
在1大气压下操作的实验室数据)

试验 编号	温度 °C	原料煤气组成容积%				空间流速 时 ⁻¹	液体及固体烃类产率克/米 ³		
		CH ₄	CO	H ₂	N ₂		原料气	2H ₂ +1CO	2H ₂ +1CO “校正值”①
69	193	0.3	30.0	68.7	1.0	102	89.2	90.4	92.3
70	188	0.3	30.0	68.7	1.0	80	108	109	87.2
71	185	0.3	30.0	68.7	1.0	83	93.3	95	78.8
71	193	0.3	30.0	68.7	1.0	84	109	110	92.4
69	186	1.3	24.2	58.2	16.3	94	89.6	107	100.6
69	193	1.3	24.2	58.2	16.3	91	106	127	115.6
69	193	0.2	27.8	57.2	16.3	94	98.8	118	111.0
70	187	0.1	26.7	44.4	28.8	129	112.8	158	204.0
70	188	0.1	26.7	44.4	28.8	129	75.8	105	135.4
70	193	0.1	26.7	44.4	28.8	133	87.8	123	163.5
70	196	0.1	26.7	44.4	28.8	130	84.9	119	154.6

①(克数/公尺³ 2H₂+1CO). $\frac{\text{空间流速}}{100}$.

在相同的进口煤气空间流速下, 由于惰性气体含量增加而导

致的催化剂生产率下降，从表 129 最后兩行的数据中也可看出。該表內的数据是 1941 年从魯尔化学公司 [15] 的一个中型試驗工場操作得出的。

比較表 129 前三項的油产率，可以看出进口气中惰性气体含量为 21.2, 41.6 及 50.8% 时，每公尺³ CO+H₂ 的产率 分別为 90.5, 107.5 及 115.4 克。这些数据指出，从表 127 及 128 得到的在相同空間流速下按不含惰性成份計算的每米³ CO+H₂ 的产率，不論以氮取代合成气或以惰性气体的混合物——氮，二氧化碳及甲烷取代合成气，都是昇高的。不过，这样提高每米³ CO+H₂ 的油产率尚不足以抵偿，这时單位時間內通过單位体积催化剂上減少的 CO+H₂ 的体积。比較表 129 前三項的最后兩行就可以看出催化剂的生产率随合成气內惰性气体含量的增加而降低。表 129 其余五項的数据指出：在惰性气体含量为 40~50% 时。每米³ CO + 2H₂ 的油产率(克/米³ CO + H₂)一般均大于第三項所列惰性气体含量为 20% 者。与此相反，催化剂的生产率在惰性气含量多时就降低了。

用分餾使所得的数据指出 [15, 16] 在相同的入口气空間流速下，以 CO₂ 或 CO₂ 及 N₂ 的混合物取代煤气中的 1CO+2H₂ 时，产品的餾份組成仍然不变。(同样参考表 127)

原料气中每 100 体积的 CO+2H₂ 生成的甲烷体积数，在操作时间为 13~51、52~67 及 71~80 日之間时，依为各为 2.35, 2.78 及 2.46 (表 129)。由于原料气中相应的 甲烷濃度为 6.9, 4.2 及 0.4%，随原料气中甲烷含量的 增加，甲烷生成量略有增加。这个結論与最近克萊克斯福 [17] 以及帕雷脫和他的同事 [18] 所得出的結果相矛盾。克萊克斯福特 [17] 的数据指出，当原料气中含有 50% 以內的甲烷时，在鈷催化剂上他們將参与 CO 与 H₂ 的合成反应。帕雷脫 [18] 的数据指出甲烷含量高达合成气的 90% 和使用特殊催化剂，是使甲烷参与反应的必要条件。这兩個試

表 129

惰性气体(氮、CO₂和CH₄)对合成的影响(用Co-ThO₂-MgO-硅藻土催化剂
在使用206公升催化剂的中型工厂中大气压下操作)

惰性成份, 佔原料 容积%	操作 时间, 天	空 间 流 速 L - 1	温 度, °C	气 体 种 类	气体分析, 容积%				收 率, %	消 耗 比 H ₂ : CO	转 化 率, %	容 积 产 品 率, 米 ³ / 时	液 化 产 品 率, %	液 化 产 品 容 积 体 积 %	生 产 率, 公 升 /时	
					CO ₂	Cn H _m	CO	H ₂								
50.8	13—51	99	174.5	原料气 出口气	28.0	0.3	17.0	32.2	6.9	15.5	2.08	66.5	73.2	71.0	79.651.6	115.448.7
41.6	52—67	101	176.5	原料气 出口气	23.0	0.1	19.8	28.6	4.2	14.2	2.1162.6	66.7	467.4	80.151.5	107.559.0	39.8
21.2	71—80	99	176.5	原料气 出口气	13.6	...	26.1	62.7	0.4	7.2	2.1957.1	62.0	60.475.8	47.5	90.578.0	47.1
40.4	93—100	97	179	原料气 出口气	19.3	0.2	19.9	39.7	4.1	16.8	2.1864.2	370.3	68.371.4	44.9	96.757.7	39.4
40.0	101—125	78	179	原料气 出口气	18.1	0.2	20.6	39.4	5.1	16.9	2.0869.3	373.9	72.3	68.2	44.2	101.045.6
40.6 { 128—143 175—188 }	81	182	原料气 出口气	20.1	0.1	19.7	39.7	4.5	15.9	2.09	74.6	77.476.5	74.3	348.2	116.048.3	36.9
				36.2	0.2	8.8	15.9	11.0	27.8	43.6	2.09	74.6	77.476.5	74.3	348.2	116.048.3
50.3	144—174	97	182	原料气 出口气	39.5	0.1	8.7	14.4	10.1	27.1	34.02	1465.7	1.069.2	75.448.0	105.147.9	33.2
50.0	189—205	100	188.5	原料气 出口气	26.2	0.1	16.9	33.1	5.5	18.2	3.35.3	2.1268.0	73.771.8	69.344.4	100.550.0	35.9

驗都还需要重复与核对並应注意气体分析的准确度和物料平衡。

从“魯尔化学公司”工业生产条件的合成时所得到的关于甲烷生成量数据，分别列于表 130 及表 131 中。表 130 [19] 是在 1 大气压下的操作数据；表 131 [20] 是在 7 大气压下的操作数据。以佔各段转化了的 CO 的百分数计算的甲烷生成量，随原料气中所含甲烷的增加而略有增加，这与表 129 所列者相符合。但以入口原料气中每米³ $\text{CO} + 2\text{H}_2$ 所生成甲烷的克数来看，在二段及三段就显著下降。在上述数据中，沒有看出甲烷参与反应的现象。

以 $\text{Co}-\text{ThO}_2-\text{MgO$ -硅藻土催化剂在 1 大气压 表 130
进行工业规模的两段合成中甲烷的生成
(魯尔化学公司1943年1年的平均数据)

	原料煤气中甲烷含量 容积%	原料煤气中 CO 转化为 CH_4 之%, 容积 %,	CH_4 产率, 克/米 ³ 原 料煤气中的 $\text{CO} + 2\text{H}_2$
第一段	4.9	15.1	15.1
第二段	15.3	16.4	6.5

以 $\text{Co}-\text{ThO}_2-\text{MgO}$ -硅藻土催化剂在 1 大气压下 表 131
进行工业规模的三段合成中的甲烷生成
(《魯尔化学公司》自 1943 年 11 月至 1944 年 2 月的平均值)

	段		
	I	II	III
温度, °C	198.9	196.4	196.4
进入该段的气体中 CH_4 含量, 容积%	0.4	4.2	9.2
进入该段气体中 CO 转化为 CH_4 部份, 容积%	11.9	13.2	17.9
CH_4 产率, 克/米 ³ 总入口气体中所含 $\text{CO} + 2\text{H}_2$	13.8	5.4	2.0